



## VI Congreso Geológico Venezolano

29 DE SEPTIEMBRE - 6 DE OCTUBRE DE 1985



### REVISIÓN ESTRATIGRÁFICA DE LA CUENCA DE VENEZUELA ORIENTAL

Roberto Arnstein, Emira Cabrera,  
Federico Russomanno, Humberto Sanchez\*

#### RESUMEN

Una nueva configuración de la Cuenca de Venezuela Oriental surge como resultado del estudio estratigráfico de un gran número de pozos exploratorios de Guárico, Anzoátegui y Monagas.

Se han reconocido cuatro regiones donde se encuentra hoy preservada una particular secuencia estratigráfica.

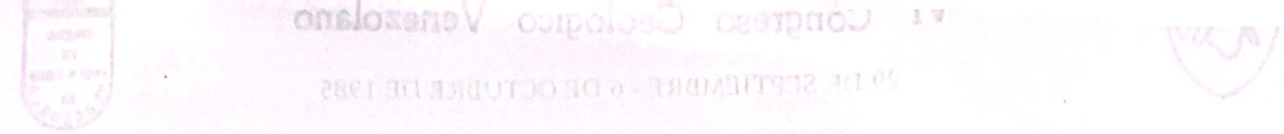
En la región nororiental de la cuenca actual se presentan una ininterrumpida secuencia cretácea-terciaria.

En Anzoátegui septentrional la secuencia estratigráfica incluye rocas del Oligo-Mioceno Inferior que descansan discordantemente sobre el Cretáceo.

En el sur de la cuenca es característico la ausencia del Mioceno Inferior y Oligoceno, mientras que en la región central está ausente el Mioceno Inferior; la secuencia terciaria remanente es discordante sobre sedimentos del Cretáceo-Paleozoico.

La secuencia terciaria preservada hoy en cada una de estas regiones, conforman una sucesión de ciclos sedimentarios que se inician el Oligoceno y culminan con la sedimentación de la molasa en el Mio-Plioceno. La correlación de éstas secuencias contemporáneas ha permitido establecer las relaciones estratigráficas en diferentes áreas del subsuelo de la cuenca.

\* Corpoven, S.A., Apartado 61373, Caracas 1060A.



## I. UBICACION:

El área objeto del presente estudio está ubicada en el extremo nororiental de Venezuela, limitada al norte por la Cordillera Araiya-Paria, al sur por el borde cratónico de Guayana, al este por el Delta del Orinoco y Golfo de Paria (Plataforma Continental) y al oeste por el arco de El Baúl (Fig. 1).

## II. ESTRATIGRAFIA:

### Introducción

Para la revisión de la estratigrafía del Terciario de la cuenca oriental de Venezuela se ha establecido un modelo de correlación basado en la presencia de secuencias cíclicas que pueden ser reconocidas en los perfiles eléctricos de un gran número de pozos analizados; estos eventos cíclicos ya habían sido postulados por Stain forth (1965). Una secuencia o ciclo sedimentario tiene un patrón eléctrico característico (electrofacies) que puede ser identificado regionalmente a través de un marcador que generalmente es un cuerpo lutítico de considerable extensión areal y que corresponde al evento de máxima subsidencia del ciclo sedimentario; por su origen marino contiene fauna planctónica que ha permitido establecer la edad de los intervalos arenosos separados por él (Fig. 2).

La importancia de este método es la de permitir relacionar secuencias contemporáneas, independientemente del nombre formacional con lo que ha sido reconocido en las diferentes áreas, la validez del método de correlación está respaldado por el estudio bioestratigráfico regional cuyos resultados son el objetivo principal del presente trabajo.

## III. BIOESTRATIGRAFIA

El estudio bioestratigráfico comprende el análisis micropaleontológico de muestras de canal y pared de 26 pozos y la determinación de edad y ambiente que las agrupaciones fosíferas indican. Información adicional procede de la recopilación bibliográfica de datos micropaleontológicos de pozos en la cual:

- a) La microfauna y/o microflora fué identificada por otros autores pero las conclusiones bioestratigráficas fueron interpretadas y actualizadas por Arnstein, et al. (1982, 32 pozos).
- b) La identificación de microfósiles e interpretación bioestratigráfica fue realizada por otros autores (87 pozos) y utilizadas sin modificaciones.

La determinación de edades se basa en conjuntos de foraminíferos planctónicos según la zonación de Stainforth et al. (1975), Fig. 3.

En algunos casos la microflora es de gran ayuda y la zonación empleada es la de Germeraad et al. (1968), Fig. 4.

La ubicación de los pozos donde se han obtenido determinaciones de edad y detalles de la zonación establecida se encuentran en la Fig. 5 y Anexo 1 respectivamente.

Los resultados de este estudio han permitido determinar cuatro regiones que se caracterizan por la ocurrencia de una secuencia estratigráfica perteneciente a un determinado lapso del tiempo geológico, según la sección penetrada por los pozos analizados. (Fig. 6).

#### ZONA A

La ocurrencia de una secuencia ininterrumpida que comprende el Cretáceo, Paleoceno-Eoceno, Oligoceno, Mioceno Inferior y Mioceno Medio caracteriza esta zona, la cual ha sido reconocida y verificada en los pozos: Trav-1 (Eoceno-Mioceno Medio) Bucare-1, Tala-1 y La Vieja-1X (Cretáceo-Paleoceno). Muchos de los pozos analizados pertenecientes a la zona "A" alcanzaron en los intervalos mas profundos estudiados una edad Mioceno Medio. Tal es el caso de los pozos Tonoro 3-E; Toro-1; El Hueso-2; Tonoro-2 etc. Otros pozos como Tonoro-1; Caro-1; y Tacat-126 llegaron a profundidad final al Mioceno Inferior. Las muestras de los pozos Q-590 y Q-595 indican la presencia del Oligoceno Inferior - Eoceno Superior. Los pozos Mosu, en el extremo nororiental de la zona "A", sugieren la existencia del Oligoceno Superior. Una secuencia Eoceno-Reciente fue estudiada en superficie por Stainforth (1965).

#### ZONA B

La zona se encuentra caracterizada por la presencia de sedimentos del Oligoceno-Mioceno Inferior descansando sobre rocas del Cretáceo; el Mioceno Medio ocurre excepcionalmente en intervalos de poco espesor. El estudio de Peirson (1965) confirma la hipótesis en superficie, mientras que el pozo Divi-1 la verifica en el subsuelo, al alcanzar el Mioceno Inferior a sólo 375' de profundidad y el Oligoceno a 4320'. Los pozos RZ-505 y Guarico-3 apoyan la determinaciones de edad en el subsuelo de la región de la zona B al igual que el pozo QG-3.

### ZONA C

En esta región se ha comprobado la presencia de sedimentos del Mioceno medio en contacto discordante con rocas oligocenas; en el pozo SF-9 se ha puesto en evidencia la ausencia de sedimentos de edad mioceno inferior.

Análogamente en el Guario-402X ocurre un cambio a 11.980 de Mioceno Medio a Oligoceno; en el Soledad-1 se identificó Mioceno Medio (11.000-11.760 pies) por encima de una secuencia con fauna típica del Oligoceno (11.760-12.770 pies).

Algunos pozos estudiados, ubicados en la Zona C, alcanzaron el Mioceno Medio a profundidad final (33 AC-10, Pato-1, ONV-53, CAZ-223, West-Maron -1, ZG-500 S), mientras que algunos intervalos seleccionados en pozos del campo Onado (ONV-55, ONV-102X) confirman la presencia del Oligoceno.

El pozo Soledad-1 detectó la presencia de sedimentos del Eocene-Medio a Superior en el substituto de la denominada subcuenca de Maturín, siendo esta la primera vez que se reporta la presencia del Eocene en esta región.

### ZONA D

La secuencia más delgada y estratigráficamente más incompleta se encuentra en esta región donde sedimentos del Mioceno Medio descienden discordantemente sobre rocas del Cretáceo.

Edades Mioceno Medio o más jóvenes fueron identificadas en los pozos Merey-2 (2637'-3590'), Sotil-1 (10.030'-10570'), Caritos-1 (4032'- 3711'); Hamaca-1 (3392), y SE-2 (1871'). Por debajo de estas profundidades, la microfauna es escasa y no diagnóstica de edad para asegurar la presencia del Cretáceo, el carácter marino marginal o continental de estas formaciones cretácicas explica la ausencia de fauna. Solamente en el pozo FB-1 se identifica un intervalo cretáceo a 4170 pies subyacente a una secuencia del Terciario Superior.

## IV. RELACIONES ESTRATIGRAFICAS

La integración de los datos bioestratigráficos a las correlaciones regionales ha permitido definir cuatro ciclos sedimentarios, su edad y la naturaleza de sus contactos. La incorporación de las unidades litoestratigráficas reconocidas en los perfiles eléctricos de los pozos analizados, ha conducido al establecimiento de las relaciones estratigráficas en las diferentes regiones de la cuenca. (Fig. 7, 8).

### Ciclo Oligoceno

El marcador regional del Oligoceno (G. ciperoensis) está repre-

sentada por las formaciones Roblecito (Subcuenca de Guárico) y Areo (Subcuenca de Maturín). El conjunto de unidades litoestratigráficas que complementan la secuencia oligocena son: La Pascua y Los Jabíllos-Naricual del Grupo Mereure. (Fig. 9). La base del ciclo oligoceno es discordante con varias formaciones pre-eocenas.

#### Ciclo Mioceno Inferior

Las lutitas fosilíferas de la Formación Carapita representan el marcador regional del ciclo en la parte noreste de la cuenca, también ha sido reconocido en la Formación Oficina, de los campos de Anaco, y en la Formación Capiricual (Divi-1, Fig.10). Una secuencia equivalente, menos marina y paleontológicamente menos documentada se encuentra en la Formación Chaguaramas de la Subcuenca de Guárico; al norte de esta misma región, aunque no se ha reconocido el marcador del ciclo, las formaciones Quiamare y Quebradón pueden representar la parte transgresiva y regresiva, respectivamente, del Mioceno Inferior.

#### Ciclo Mioceno Medio

Las formaciones Oficina y Carapita Superior constituyen las unidades litoestratigráficas representativas del Mioceno Medio; este ciclo sedimentario descansa discordantemente por encima del Oligoceno en algunos pozos del área de Guamache-Maulpa-Onado (Fig. 11); en algunas localidades del flanco sur de la subcuenca de Maturín (Pozo Mata 11-14), la base del ciclo es reconocida como Formación Mereure; se trata de un intervalo de areniscas coalescentes que están en contacto discordante con el Cretáceo o el Oligoceno. En la región nororiental de la cuenca, el contacto inferior del ciclo es discordante y se reconoce como discordancia intra Carapita.

#### Ciclo Mio-Plioceno

Las unidades litoestratigráficas que conforman este ciclo son las formaciones La Pica-Las Piedras-Quiriquire en el sector nororiental de la cuenca y Freites-Las Piedras en el flanco Sur de la subcuenca de Maturín.

El marcador regional se encuentra en la Formación Freites, unidad predominantemente lutítica; al norte ha sido documentado en los sedimentos perteneciente a la Formación La Pica.

#### V.

#### Conclusiones

- 1) En la cuenca de Venezuela Oriental se han delimitado cuatro zonas con secuencias estratigráficas muy particulares: a) En la región nororiental se ha preservado una secuencia ininterrumpida cretáceo-terciaria; b) una columna de rocas Oligo-Mioceno Inferior se ha preservado en la región noroccidental y descansa discordan-

temente sobre rocas cretáceas o precretáceas; c) en la región meridional de la cuenca es característico la ausencia del Mioceno Inferior y Oligoceno, y en la región central está ausente el Mioceno Inferior; la secuencia terciaria remanente yace en discordancia sobre sedimentos cretáceo-paleozoicos.

El corrimiento de Anaco y la falla Urica pueden constituir los límites entre estas regiones.

2) La integración de los datos bioestratigráficos a las correlaciones regionales han permitido establecer cuatro ciclos sedimentarios en la secuencia terciaria que se inician en el Oligoceno y culminan con la sedimentación de la molasare en el Plioceno.

La correlación de estas secuencias contemporáneas ha puesto en evidencia el uso de un mismo nombre formacional para distinguir dos unidades pertenecientes a ciclos sedimentarios diferentes y separados por una discordancia regional; como ejemplos se citan la Formación Oficina de los campos de Anaco (Mioceno Inferior) y la "Oficina" de la subcuenca de Maturín (Mioceno Medio). La Formación Mercurio del flanco sur de la subcuenca de Maturín es de edad Mioceno Medio, mientras que en la región noreste, la unidad equivalente es Oligoceno en edad y está representada por las formaciones Los Jabíos, Areo y Naricual.

En la parte norte de la subcuenca de Maturín se observa una discordancia regional entre la Formación Mercurio y la Formación Los Jabíos, que se expresa en la ausencia de la secuencia terciaria en la parte norte de la subcuenca.

En la parte sur de la subcuenca de Maturín se observa una discordancia regional entre la Formación Mercurio y la Formación Los Jabíos, que se expresa en la ausencia de la secuencia terciaria en la parte sur de la subcuenca.

En la parte norte de la subcuenca de Maturín se observa una discordancia regional entre la Formación Mercurio y la Formación Los Jabíos, que se expresa en la ausencia de la secuencia terciaria en la parte norte de la subcuenca.

En la parte sur de la subcuenca de Maturín se observa una discordancia regional entre la Formación Mercurio y la Formación Los Jabíos, que se expresa en la ausencia de la secuencia terciaria en la parte sur de la subcuenca.

BIBLIOGRAFIA

ARNSTEIN, R., BETORET, C., CABRERA, E. MOMPART, L., ORTEGA, J., RUSSOMANNO, F., SANCHEZ, H. (1982). Geología Petrolera Cuenca de Venezuela Oriental. ARPEL, XLV RANE, Mexico. 33 p.

BANDY, O. (1961). Foraminiferal and Paleoenvironmental Analysis for Selected Wells in Eastern Venezuela. Reports N° 1, 2. NO PUBLICADO.

BERMUDEZ, P. (1970). Estudios Micropaleontológicos de muestras de pared y canal de los pozos FB-1 y FB-3. Informe MEM. NO PUBLICADO.

(1973). Estudios Micropaleontológicos de Muestras de núcleo de pared de los pozos SE-7, SE-8, SE-9 y SE-11, perforados por la CVP en la Faja Petrolífera del Orinoco. Informe MEM. NO PUBLICADO.

CONTRERAS, B. y HERNANDEZ, Y. (1980). Historia Sedimentaria del Eoceno y Oligoceno de la Serranía del Interior. Norte de Monagas. Trabajo Especial de Grado. U.C.V. Escuela de Geología. Caracas, Inédito. 462 p.

CORELAB (1981), Geochemical Source Bed Evaluation Study, Guárico Sub-Basin. Geochemical Services. Core Laboratories Inc. NO PUBLICADO. 267 pp.

EDELMAN, D., THOMPSON, L. y PERCEIVAL, S. (1979). Bioestratigraphic Studies Llanoven, Venezuela, Onado ONV-53. Ven-813. NO PUBLICADO. Corpoven, S.A.

EURIBE, A. (1980). Bioestratigrafía y Distribución de Biofacies en pozos del Norte de la Faja Petrolífera del Orinoco informe ICT-108. NO PUBLICADO. INTEVEP, S.A. 55 pp. Publicado en la Revista Técnica INTEVEP. I (1): 37-46.

(1980a). Bioestratigrafía del pozo SE-2, Faja Petrolífera del Orinoco, ICT-106. NO PUBLICADO. Inteve, S.A.

(1980b). Bioestratigrafía del pozo SE-12, ICT-107. NO PUBLICADO. Inteve, S.A.

(1980c). Bioestratigrafía del pozo SE-14, ICT-105. NO PUBLICADO. Inteve, S.A.

(1980d). Bioestratigrafía del pozo PCN-7, en Estudio Sedimentológico de Núcleos pozo PCN-7. Anexo 4. NO PUBLICADO. Inteve, S.A.

GERHARD, J. E. (1975). Palynological and Paleontological Studies, Onado: ONV-55 well, Monagas, Venezuela. NO PUBLICADO. Corpoven, S.A.

GERHARD, J. E. (1976). Palynological Studies in Hamaca-2X y Carrizal-2X wells (Vol. 1, 2). NO PUBLICADO. Corpoven, S. A.

(1978). Palynological Study Guario-402X well. Ven 821. NO PUBLICADO.

GERMERAAD, J.; HOPPING, C.; MULLER, J. (1968). Palynology of Tertiary Sediments from Tropical areas. Paleobotany and Palynology: 189-348. Elsevier Pub.

INTERNATIONAL BIOESTRATIGRAPHERS INCORPORATED (1982). Palynological Investigation of the Corpoven Soledad-1. Well. 7 p. 5 plates. NO PUBLICADO.

INTEVEP, S.A. y BEICIP (1980). Estudio Geoquímico en la Cuenca Oriental y Faja Petrolífera del Orinoco. Los Teques, Venezuela. NO PUBLICADO. 50 pp.

LAMB, J., SULEK, J. (1965). Definition of the Cachipo Member of the Carapita Formation. A.V.G.M.P. 8 (4): 111-114.

MENE GRANDE OIL CO. (Varios). Informes Bioestratigráficos de pozos exploratorios. NO PUBLICADOS.

PEIRSON A. L. (1965). Geology of North Central Venezuela, Lagoven, S.A. 328 pp. NO PUBLICADO.

STAINFORTH, R. M. (1965). Mid Tertiary Diastrophism in Northern South America. Fourth Caribbean Geological Conference. Trinidad. Separata: 38 pp.

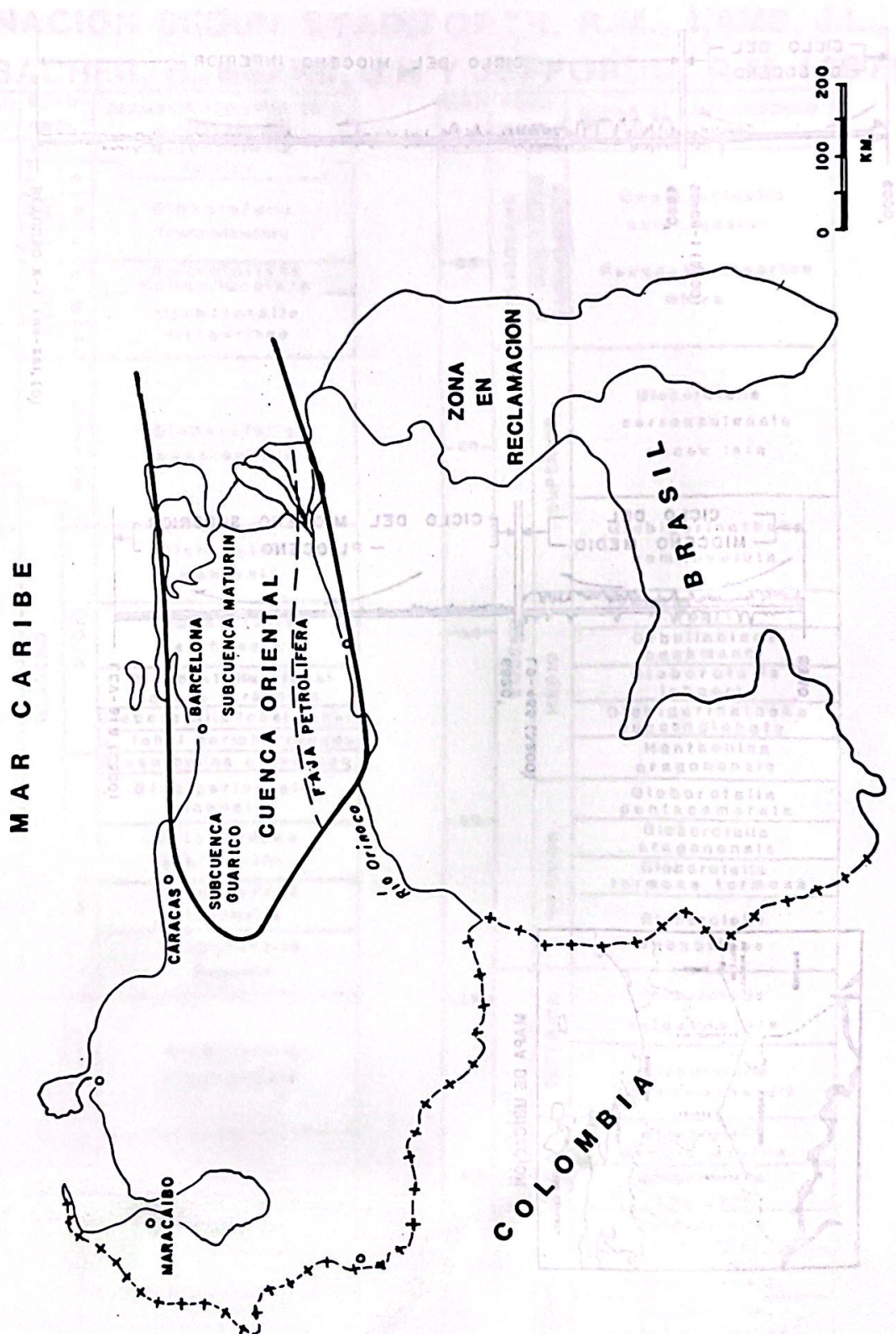
(1971). La Formación Carapita de Venezuela Oriental. Cong. Geol. Venez. IV, Caracas, Noviembre, 1969, Memoria, Bol. Geol., Caracas. Publ. Esp. 5, I: 433-463.

, LAMB, J.L., LUTERBACHER H., BEARD, J.H. and JEFFORDS R.M. (1975). Cenozoic Planctonic Foraminiferal Zonation and Characteristics of Index Forms. The University of Kansas Paleontological Contributions. Article 62, 425 pp (2 Vol.).

SULEK, J. (1961). Miocene Correlations in the Maturín Sub-Basin. A.V.G.M.P.; 4 (4): 131-139.

; STAINFORTH, R. (1965). Chapapotal Member new name for Cachipo Member of Carapita Formation. A.V.G.M.P.: 8 (9): 281 n

CUENCA ORIENTAL DE VENEZUELA  
AREA DE ESTUDIO



# CUENCA ORIENTAL DE VENEZUELA CICLOS SEDIMENTARIOS

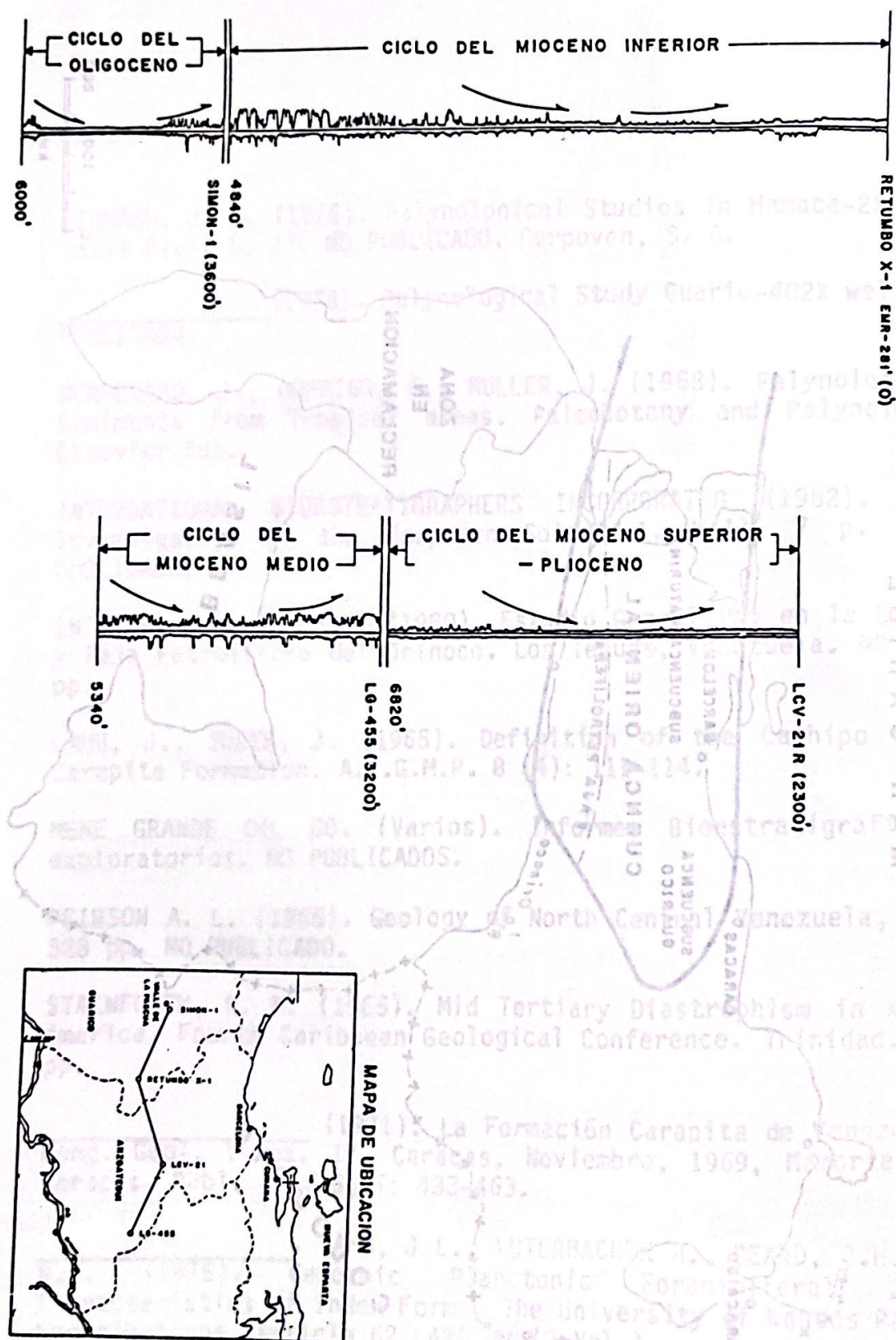


FIG. 2

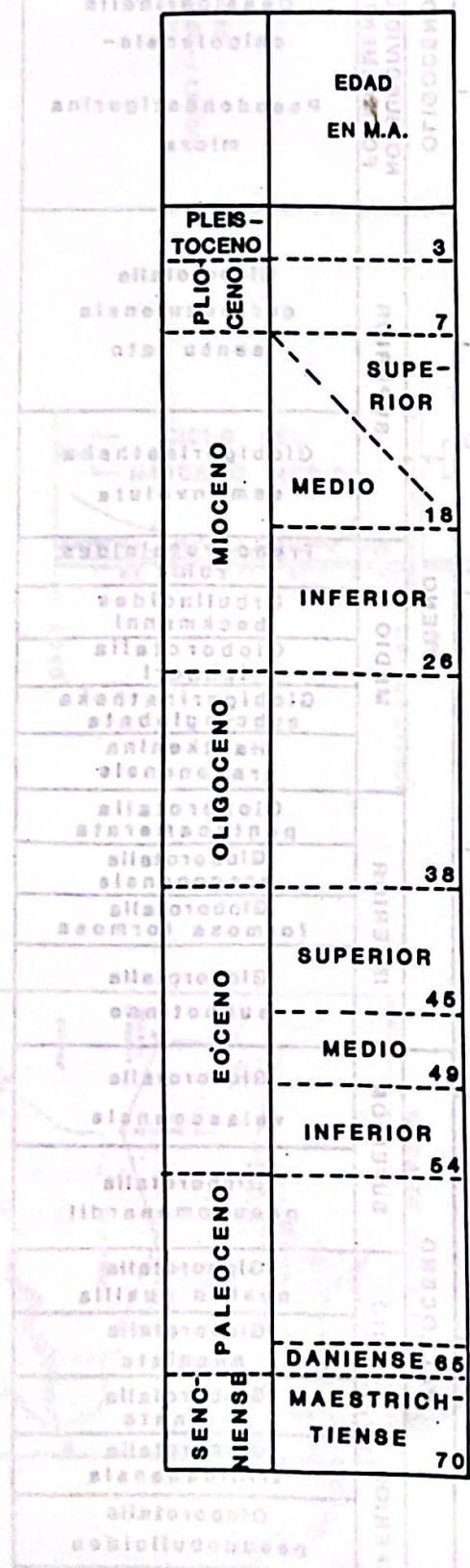
# ZONACION SEGUN STAINFORTH, R.M., LAMB, J.L., LUTERBACHER, H., BEARD, J.H Y JEFFORDS, R.M. (1975)

EDAD M.A.	EDAD GEOL	ZONAS DE FORAMINIFEROS PLANCTONICOS
0	Rec.	<i>Globorotalia tumida</i>
0.1	PLEISTO-CENO M S	<i>Globorotalia Trucatulinoides</i>
5	PLIO-CENO M S	<i>Pulineatiana obliquiloculata</i>
		<i>Globorotalia margaritae</i>
10	SUPERIOR	<i>Globorotalia acostaensis</i>
15	MIOCENO MEDIO	<i>Globorotalia menardii</i>
		<i>Globorotalia slakensis</i>
		<i>Globorotalia foehsi lobata - robusta</i>
		<i>Globorotalia foehsi foehsi</i>
		<i>G. foehsi peripheroranda</i>
		<i>Praeorbulina glomerosa</i>
		<i>Globigerinatella insueta</i>
		<i>Catapsydrax stainforthi</i>
		<i>Catapsydrax dissimilis</i>
		<i>Globorotalia kugleri</i>
25	OLIGOCENO NO SUBDIVIDIDO FORMALMENTE	<i>Globigerina cipriensis</i>
		<i>Globorotalia opima opima</i>
30		<i>Globigerina ampliapertura</i>

EDAD M.A.	EDAD GEOL	ZONAS DE FORAMINIFEROS PLANCTONICOS
35	OLIGOCENO NO SUBDIVIDIDO FORMALMENTE	<i>Cassigerinella chipolensis-</i>
40	SUPERIOR	<i>Pseudohastigerina micra</i>
45	EOCENO MEDIO	<i>Globorotalia cerroazulensis sensu lato</i>
50	INFERIOR	<i>Globigerinatheka semilinvoluta</i>
55	SUPERIOR	<i>Truncorotaloides rohri</i>
60	MEDIO	<i>Orbulinoides beckmanni</i>
		<i>Globorotalia lehneri</i>
		<i>Globigerinatheka subconglobata</i>
		<i>Hantkenina aragonensis</i>
		<i>Globorotalia pentacamerata</i>
		<i>Globorotalia aragonensis</i>
		<i>Globorotalia formosa formosa</i>
		<i>Globorotalia subbotinae</i>
		<i>Globorotalia velascoensis</i>
		<i>Globorotalia pseudomenardii</i>
		<i>Globorotalia pusilla pusilla</i>
		<i>Globorotalia angulata</i>
		<i>Globorotalia uncinata</i>
		<i>Globorotalia trinidadensis</i>
		<i>Globorotalia pseudobulloides</i>
		<i>Globigerina eugubina</i>

FIG.3

ZONACION PALINOLOGICA SEGUN  
GERMERAAD, J. , HOPPING, C. , Y  
MULLER. J, (1968)



ZONAS DEL CARIBE
<i>ALNIPOLLENITES VERUS</i>
<i>ECHITRICOLPORITES MCNEILLYI</i>
<i>PACHYDERMITES</i>
<i>DIEDERIXI</i>
<i>GRIMSDALEA MAGNACLAVATA</i>
<i>MULTMARGINITES VANDERHAMMENI</i>
<i>PSILADIPORITES MINIMUS</i>
<i>JANDUFOURI</i>
<i>SEAMROGIFORMIS</i>
<i>RETITRICOLPORITES GUIANENSIS</i>
<i>PSILATRICOLPORITES OPERCULATUS</i>
<i>PSILATRICOLPORITES CRASSUS</i>
<i>FOVEOTRICOLPITES PERFORATUS</i>
<i>CTENOLOPHONIDITES LISAMAE</i>
<i>FOVEOTRILETES MARGARITAE</i>

## **POZOS ANALIZADOS CON DETERMINACION DE EDAD CUENCA ORIENTAL DE VENEZUELA**

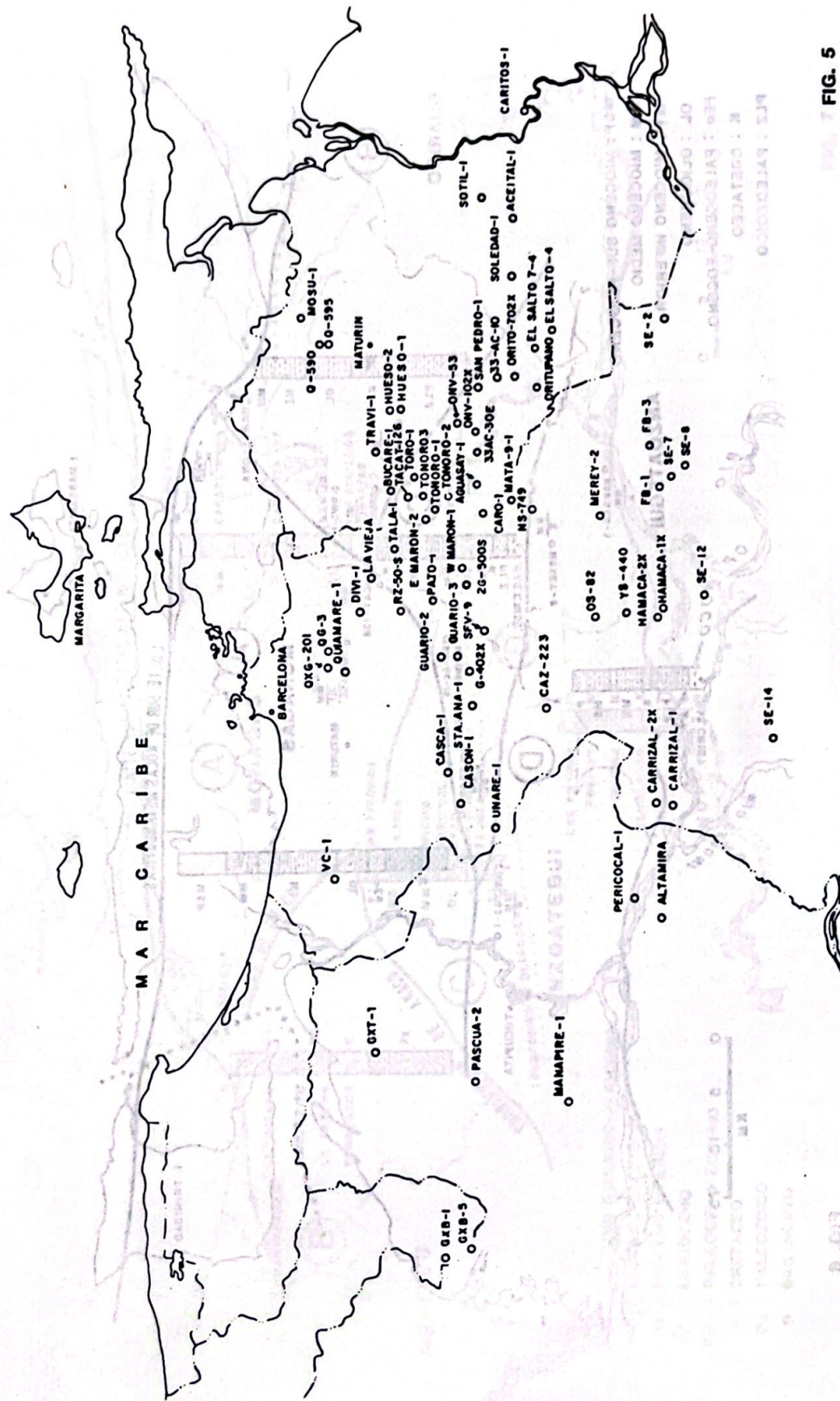


FIG. 5

## **CONCLUSIONES BIOESTRATIGRAFICAS**

CUENCA ORIENTAL DE VENEZUELA

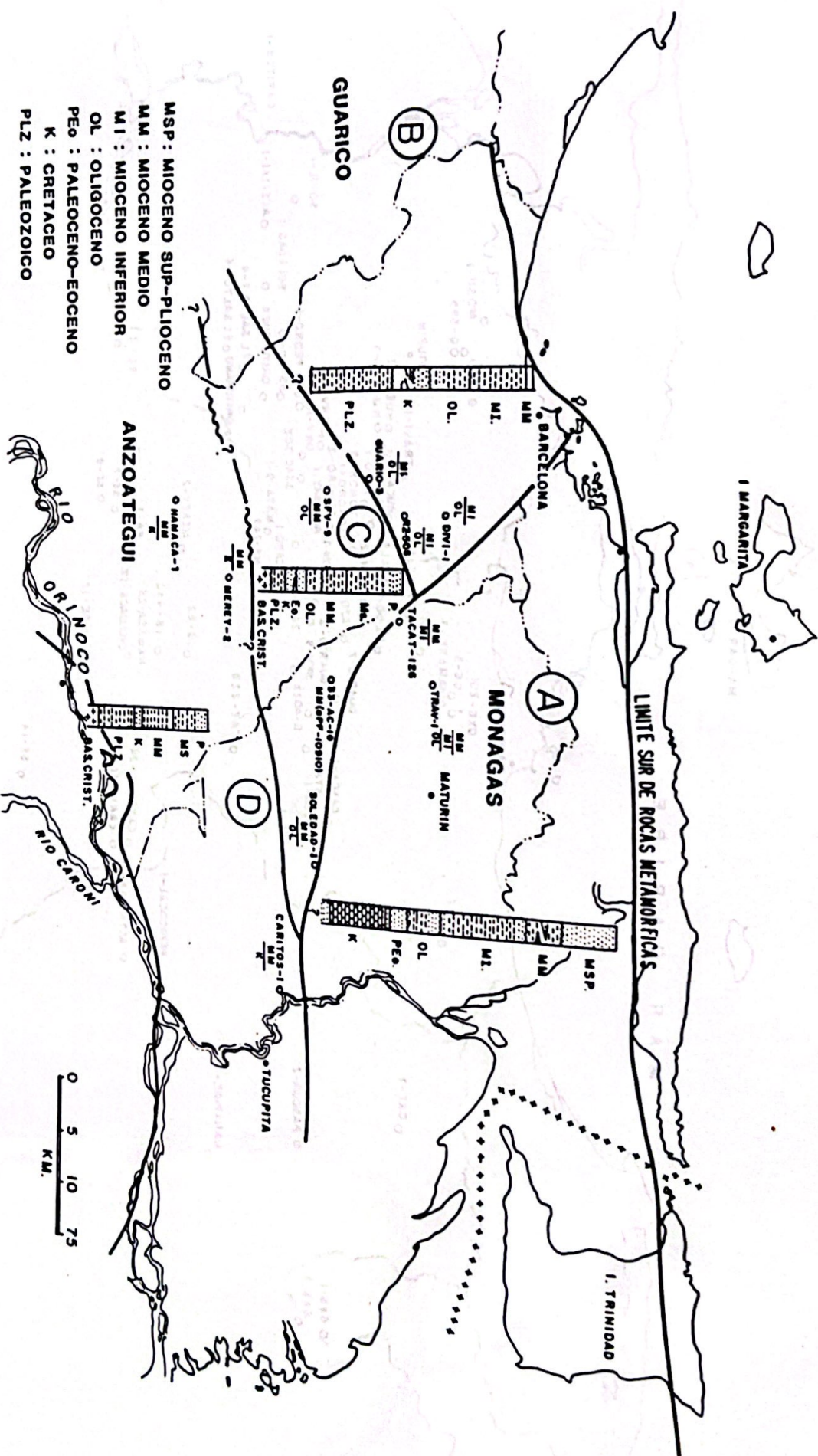


FIG. 6

# CUENCA ORIENTAL DE VENEZUELA SINTESIS ESTRATIGRAFICA

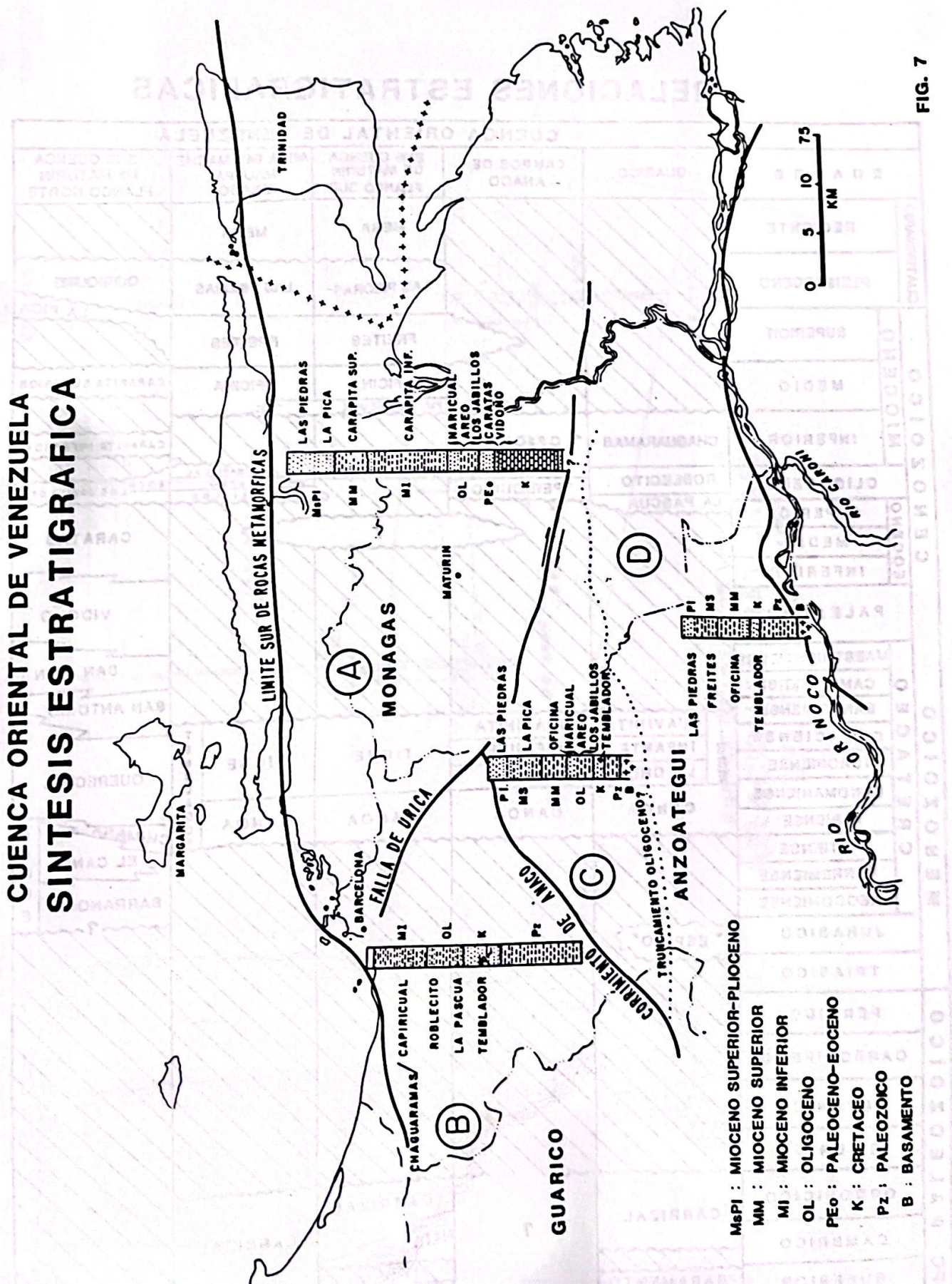


FIG. 7

# RELACIONES ESTRATIGRAFICAS

		CUENCA ORIENTAL DE VENEZUELA				
EDADES		GUARICO	CAMPOS DE ANACO	SUB CUENCA DE MATORIN FLANCO SUR	AREA GUAMACHE MAULPA ONADO	SUB CUENCA DE MATORIN FLANCO NORTE
CUATERNARIO	RECIENTE			MESA	MESA	
	PLEISTOCENO			LAS PIEDRAS	LAS PIEDRAS	QUIRIQUIRE LA PICA
	SUPERIOR			FREITES	FREITES	
	MEDIO			OFICINA	OFICINA	CARAPITA SUPERIOR
	INFERIOR	CHAQUARAMAS	"OFICINA"	FM. MERECURE		CARAPITA INFERIOR
	OLIGOCENO	ROBLECITO	"PERIQUITO"		HARICUAL AREO	AREO LOS JABILLOS
	SUPERIOR	LA PASCUA		?		CARATAS
	MEDIO					VIDONO
	INFERIOR					SAN JUAN
	PALEOCENO					SAN ANTONIO
CENOZOICO	MAESTRICHTIENSE					QUERECUAL
	CAMPAÑIENSE					CHIMANA
	SANTONIENSE	TIGRE GUAVINITA	GUAVINITA	TIGRE	TIGRE	EL CANTIL
	CONACIENSE	INFANTE	INFANTE			BARRANQUIN
	TURONIENSE	LA CRUZ	LA CRUZ			?
	CENOMANIENSE	CANOA	CANOA	CANOA	CANOA	SUCRE
	ALBIENSE					
	APTIENSE					
	BARREMIENSE					
	NEOCOMIENSE					
MESOZOICO	JURASICO	"ESPINO"				
	TRIASICO					
	PERMICO					
	CARBONIFERO					
	DEVONICO					
	SILURICO					
	ORDOVICICO	CARRIZAL	?	CARRIZAL	CARRIZAL	
	CAMBRIICO			HATO VIEJO		
	SUPERIOR	BASAMENTO IGNEO?		IGNEO?	?	

E

CUENCA OESTE DE VENEZUELA

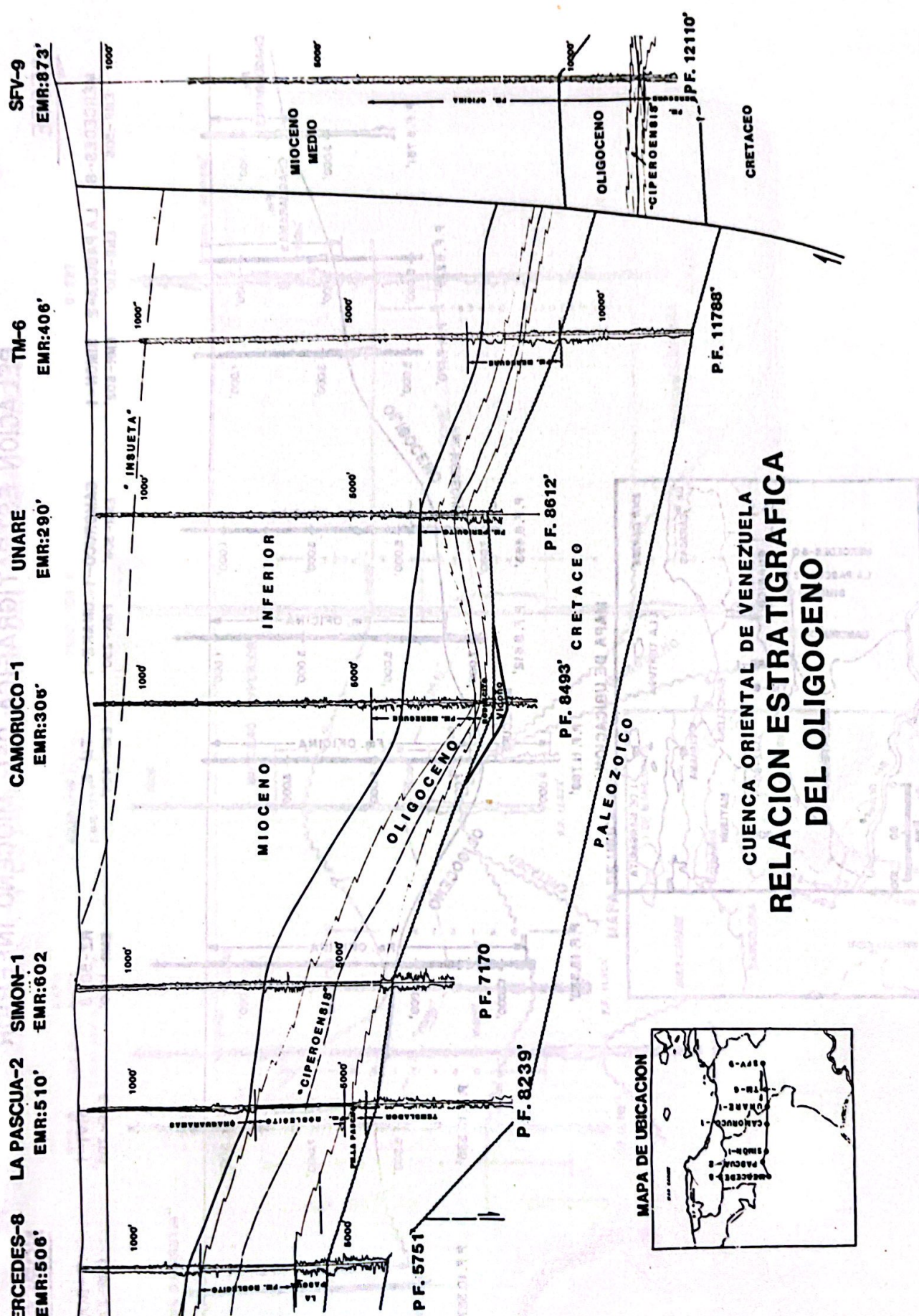


FIG. 9

**CUENCA ORIENTAL DE VENEZUELA  
RELACION ESTRATIGRAFICA DEL MIOCENO INFERIOR**

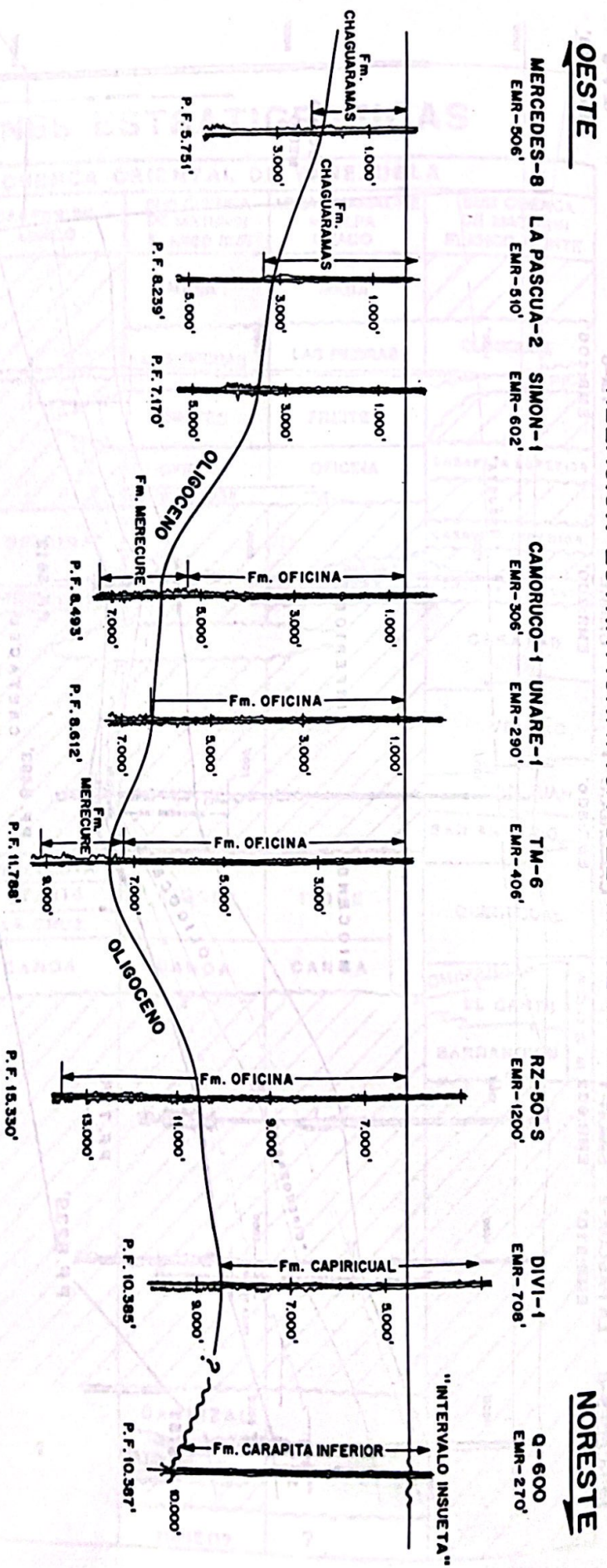
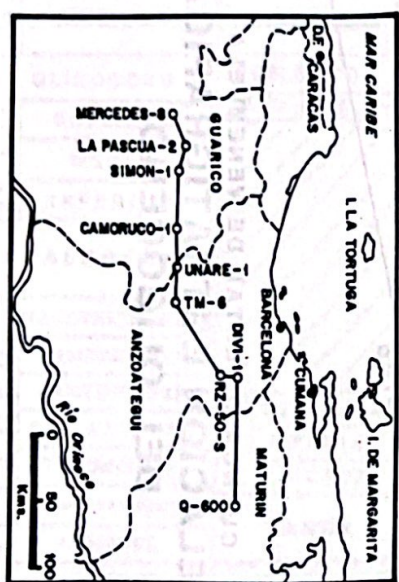


FIG. 10

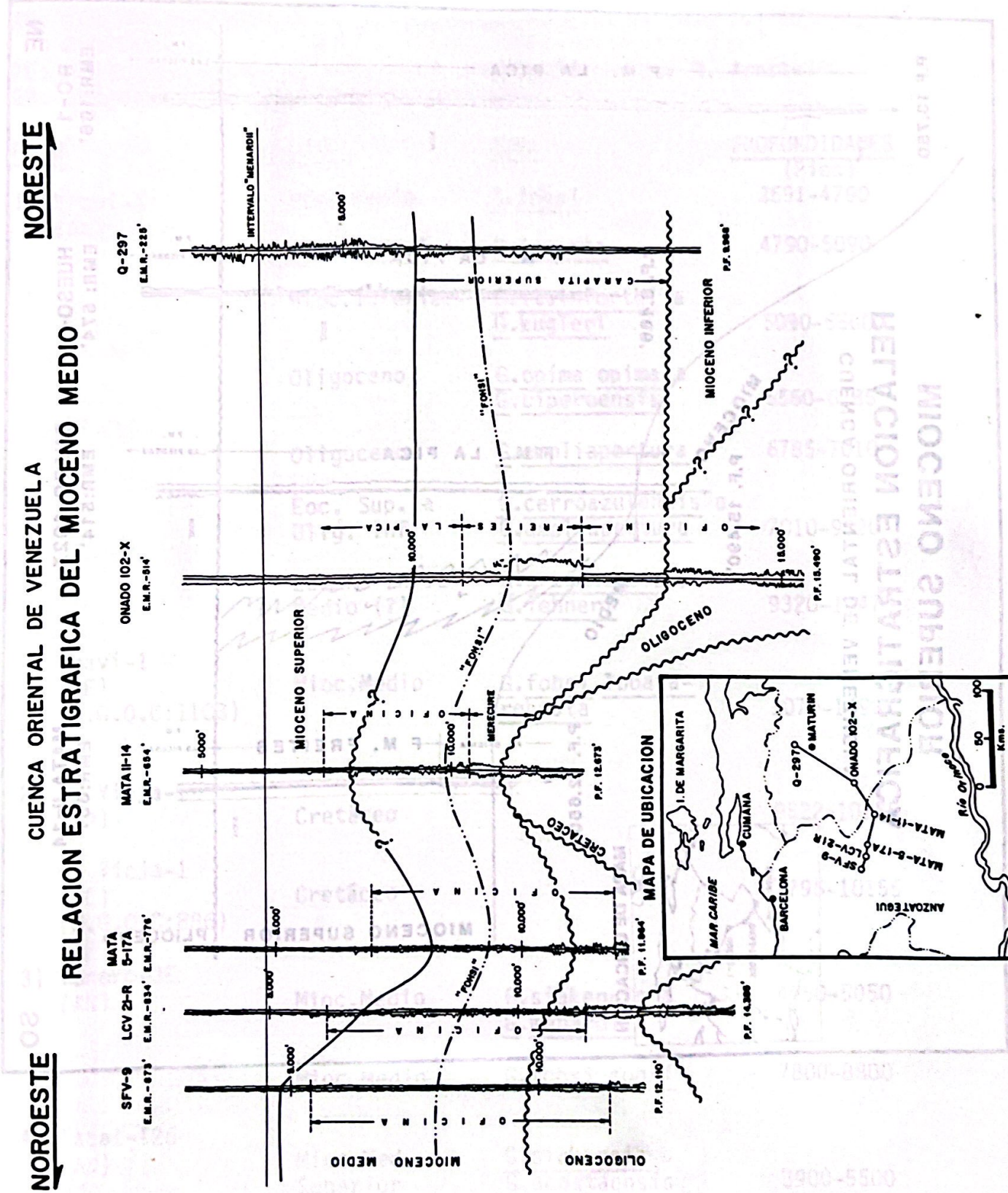


FIG. 11

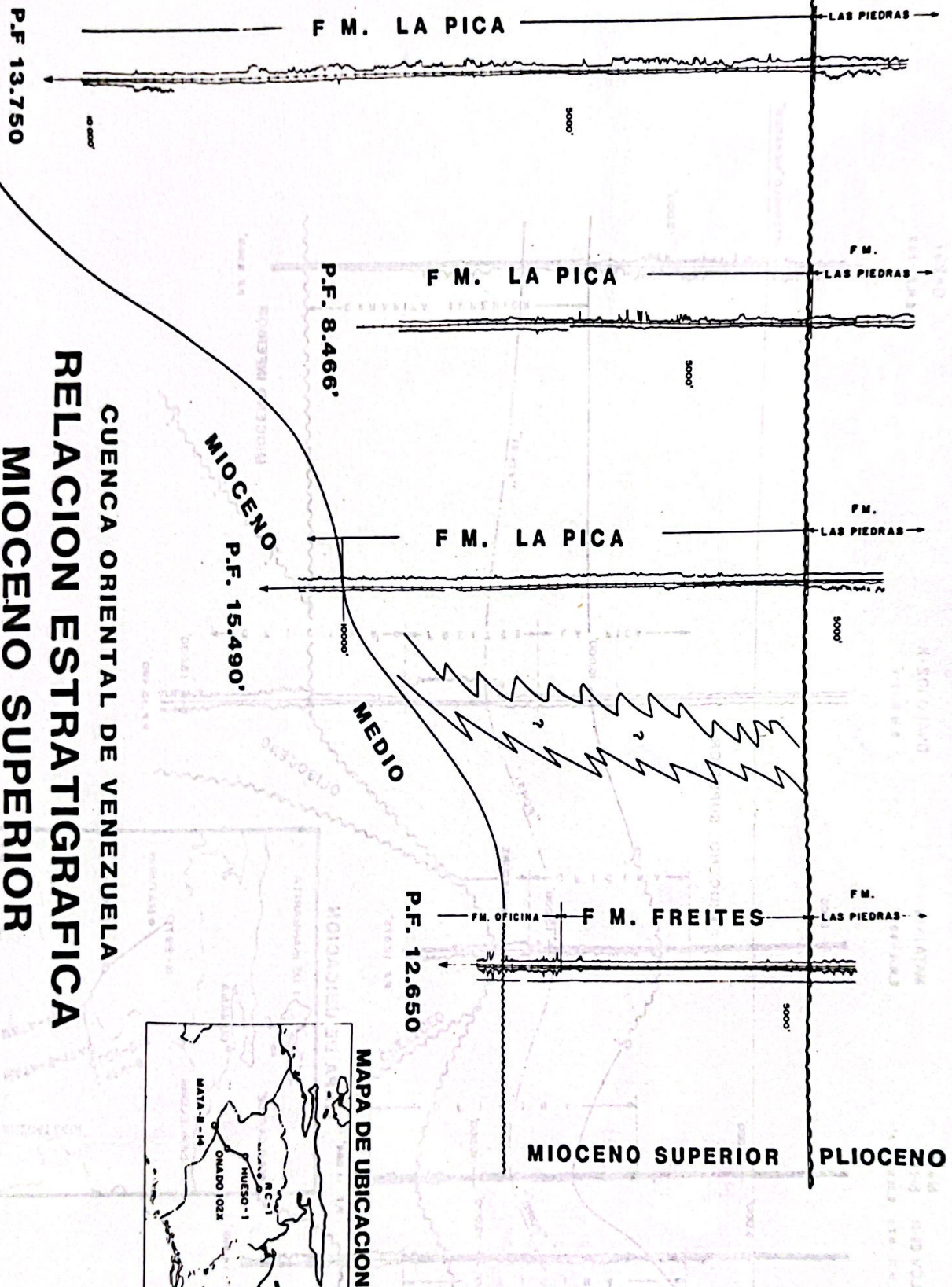
NE

RC-1  
EMR: 166'

HUESO-1  
ONADO-102X  
EMR: 574'  
EMR: 514'

MATA II-14  
EMR: 657

SO



CUENCA ORIENTAL DE VENEZUELA  
RELACION ESTRATIGRAFICA  
MIOCENO SUPERIOR

ANEXO 1

AN: Estudio micropaleontológico e interpretación de edad por Roberto Arnstein.  
 RE: Reinterpretacion de datos bioestratigráficos por R. Arnstein.  
 RB: Información biestatigráfica publicada.

<u>POZO</u>	<u>EDAD</u>	<u>ZONA</u>	<u>PROFUNDIDADES</u> <u>(Pies)</u>
1) Travi-1 (AN)	Mioc. medio 2 Mioc. inferior	G. <u>fohsii</u> G. <u>insueta</u>	3691-4790 4790-5090
Perito Moreno-1 (RE) 0885-0003 (1980)	Mioc. inferior 3 Oligoceno	C. <u>stainforthi</u> a G. <u>kugleri</u>	5090-6560
13) Bucero-1 (M.G.O.C:1103)	Oligoceno	G. <u>opima opima</u> a G. <u>ciperoensis</u>	6560-6785
14) Isla-1 (RE) 0063-0014C(1971)	Eoc. Sup. a Olig. Inf.	G. <u>ampliapertura</u>	6785-7010
15) Pato-1 (RE) 0063-0003A	Eocene Inf.a Medior (?)	G. <u>cerroazulensis</u> a G. <u>ampliapertura</u> G. <u>aragonensis</u> a G. <u>Tehneri</u>	7010-9320 9320-10475
Travi-1 (RE) (M.G.O.C:1103)	Mioc. Medio	G. <u>fohsii</u> lobata- robusta	1070-1490
2) La Vieja-1 (AN)	Cretáceo		9522-10155
La Vieja-1 (RE) (M.G.O.C:886)	Mioc. Inf. REC.		7795-10155
3) Tonoro-3E (AN)	Mioc. Medio	G. <u>siakensis</u> a G. <u>menardii</u>	4850-5050
4) Tacat-126 (AN)	Mioc. Med. a Superior	G. <u>fohsii</u> foysi	7800-8800
	Mioc. Medio	G. <u>siakensis</u> a G. <u>acostaensis</u>	3900-5500
	Mioc. Inferior	G. <u>fohsii</u> s.l. P. <u>glomerosa</u>	5500-9715 9715-10600

<u>POZO</u>	<u>EDAD</u>	<u>ZONA</u>	<u>PROFUNDIDADES</u> <u>(Pies)</u>
5) Guario-1 (AN)	Mioc. Medio a Inferior	G. <u>insueta</u> a G. <u>fohsii</u> s.l.	760-1820
6) Guario-2 (AN)	Posib. Mioc. Inf.		5481-5549
7) Guario-3 (AN)	Mioc. Inf.	G. <u>kugleri</u> a C. <u>dissimilis</u>	1021
8) Santa Fe-9 (AN)	Mioc. Medio	G. <u>siakensis</u> a G. <u>menardii</u>	5000-7680
Santa Fe-9 (RB) (Intevep-Beicip, 1980)	Mioc. Medio	G. <u>fohsii lobata-</u> <u>robusta</u>	7680-9870
	Oligoceneo	G. <u>ampliapertura</u>	9870-10200
	Mioc. Medio	G. <u>siakensis</u>	4100-6300
9) 33 AC-10 (AN)	Mioc. Medio	G. <u>fohsii lobata-</u> <u>robusta</u>	6300-9630
	Oligoceneo	G. <u>ampliapertura</u>	9630-10070
	Mioc. Medio	G. <u>fohsii lobata-</u> <u>robusta</u>	8525-8542
10) Soledad-1 (AN)	Mioc. Medio	G. <u>fohsii foehsi</u>	8542-8660
	Mioc. Medio	G. <u>fohsii periphe-</u> <u>ronda</u> a G. <u>fohsii foehsi</u>	8660-10910
	Oligoceneo	G. <u>fohsii periphe-</u> <u>ronda</u> a G. <u>fohsii foehsi</u>	11000-11760
	Eoc. Medio a Sup. (?)	C. <u>chipolensis</u> - P. micra a G. <u>ciperoensis</u>	11760-12770
	Eoc. Medio (?)	G. <u>subconglobata</u> a G. <u>cerroazulensis</u>	12770-13620
		G. <u>subconglobata</u> a. O. <u>beckmanii</u>	13620-14068

<u>POZO</u>	<u>EDAD</u>	<u>ZONA</u>	<u>PROFUNDIDADES</u> (Pies)
Soledad-1 (RB) (Int. Biost. Inc. 1982)	Mioc. Sup. Oligoceno Cretáceo	Pachid. <u>diederixi</u> Jand. <u>seamrogiformis</u> <u>Obtusisporis</u>	1800-5500 9800-12770 13310-14040
11) Merey-2 (AN)	Mioc. Medio	G.fohsii <u>peripheroronda</u> a G.fohsii fohsi	2637-3590
12) Pericocal-1 (AN)	Mioc. Medio		1540;2362
Pericocal-1 (RE) (Euribe, 1980)	Mioc. Medio	G. siakensis	1720-2080
13) Bucare-1 (RE) (M.G.O.C:1103)	Cretáceo Mioc. Inf. Rec.		1170-5743 8460-11710
14) Tala-1 (RE) (M.G.O.C:1071)	Paleoc. Sup. Cretáceo	G. pseudomenardii	2250-2310 5790-6645
15) Pato-1 (RE) (M.G.O.C:1187)	Mioc. Medio- Reciente		5849-7680
Pato-1 (RB) (Sulek, 1961)	Mioc. Medio	Glob.fohsii fohsi	10980
16) W-Quiamare-1 (RE) (M.G.O.C: 991)	Mioc. Inf. Rec.		9590-9610
17) QXG-201 (RE) (M.G.O.C: 1010)	Mioc. Inf. Rec.		1390-4030
18) N-Santa Ana-1 (RE) (M.G.O.C: 1223)	Olig.-Mioc. Inf. Devónico Sup.- Mioc. Inf. Rec.		2400-9870
19) Casca-1 (RE) (M.G.O.C: 949)	Mioc. Inf. - Plioc. Inf.	P. glomerosa a G. margaritae	9127-9142
20) Cason-1 (RE) (M.G.O.C: 1063)	Mioc. Inf. - Plioc. Inf.	P. glomerosa a G. margaritae	1120-3870

<u>POZO</u>	<u>EDAD</u>	<u>ZONA</u>	<u>PROFUNDIDADES</u> <u>(Pies)</u>
21) Unare-1 (RE) (M.G.O.C: 617)	Mioc. Inf. Rec.		4079-6090
22) West-Maron-1 (RE) (M.G.O.G: 742)	Mioc. Medio	<u>G.fohsii lobata-robusta</u>	9480-9495
West-Maron-1 (RB) (Sulek, 1961)	Mioc. Medio	<u>G.fohsii foehsi</u>	10670
23) El Salto-4 (RE) (M.G.O.G: 1005)	Mioc. Med-Rec. Mioc. Medio	<u>G.fohsii lobata-robusta</u>	3940-5020 5020-6370
24) El Salto-7A (RE) (Euribe, 1980)	Mioc. Medio	<u>G.fohsii s. l.</u>	6020-6090
El Salto-7A (RB) (Sulek, 1961)	Mioc. Medio	<u>G.fohsii foehsi</u>	6400
25) Caritos-1 (RB) (Euribe, 1980)	Mioc. Med-Rec.		4032-5711
26) Hamaca-1 (RE) (Euribe, 1980)	Mioc. Sup-Rec. Mioc. Med-Rec.	<u>G.foehsi</u> <u>G.foehsi</u>	815-1390 1390-3392
27) SE-2 (RE) (Euribe, 1980 a)	Mioc. Medio	<u>G.fohsii foehsi</u> <u>G.menardii</u>	1470-1824
28) SE-12 (RE) (Euribe, 1980 b)	Mioc. Medio	<u>G.fohsii foehsi</u> <u>G.menardii</u>	1806-2159
29) SE-14 (RE) (Euribe, 1980 c)	Mioc. Medio a Inferior (?)	<u>G.menardii</u> a <u>C.dissimilis</u>	400-1216
30) PCN-7 (RE) (Euribe, 1980 d)	Mioc. Medio	<u>G.fohsii foehsi</u> a <u>G.menardii</u>	2222-2493

<u>POZO</u>	<u>EDAD</u>	<u>ZONA</u>	<u>PROFUNDIDADES</u> (Pies)
31) Sotil-1 (RE) (Euribe, 1980)	Mioc. Medio- Reciente		10030-10570
32) Hamaca-2X (RE) (Gerhard, 1976)	Mioc. Super.- Plioceno	<u>G.acostaensis</u> a <u>G.tumida</u>	488-3292
Hamaca-2X (RE) (Gerhard, 1976)	Mioc. Medio a Superior		2488-3292
33) Guario-402X (RE) (Gerhard, 1978)	Mioc. Medio	<u>G.fohsii fohsii</u> a <u>G.menardii</u>	10300-11930
	Oligoceno		11930-12580
	Eoc. Medio a Inferior	<u>G.edgeri</u> a <u>H.aragonensis</u>	12600-12650
	Cretáceo		12900-13020
34) ONV-53 (RE) (Edelman, et.al, 1979)	Mioc. Medio a		15200-16620
ONV-53 (RB) (Edelman, et.al, 1979)	Mioc. Medio a Inferior		15200-16620
35) Carrizal-2X (RE) (Gerhard, 1976)	Mioceno		2688
Carrizal-2X (RE) (Gerhard, 1976)	Mioc. Medio		2688
	Olig.-Mioc. Inf.		4507-5738
	Devónico Sup.- Missisip. Inf.		7750-10001
36) SE-8 (RE) (Bermudez, 1973)	Mioc. Medio	<u>G.blaekensis</u>	1969-1989
	Oligoc.-Mioc. Medio	<u>G.blaekensis</u>	1969-1989
37) Q-590 (RB) (Contreras y Hernández, 1980)	Oligoceno Inferior	<u>Cassid.chipolensis-</u> <u>Pseudoh. micra</u> a <u>G.ampliapertura</u>	7025-7028

<u>POZO</u>	<u>EDAD</u>	<u>ZONA</u>	<u>PROFUNDIDADES</u> <u>(pies)</u>
38) Q-595 (RB) (Contreras y Hernández, 1980)	Eoc.Super.-Olig.Infer.	<u>G.cerroazulensis</u> a <u>G.ampliapertura</u>	7392-7393
39) Tonoro-2 (RB) (Bandy, 1961)	Mioc.Medio	<u>G.fohsii peripheroronda</u> a <u>G.siakensis</u>	10000-11030
40) Tonoro-1 (RB) (Bandy, 1961)	Mioc.Medio Base Mioc.Med.	<u>G.fohsii</u> s. l. <u>G.fohsii peripheroronda</u>	4000-6300 6300-10000
41) Toro-1 (RB) (Bandy, 1961)	Mioc.Medio Mioc.Medio	<u>G.siakensis</u> <u>G.fohsii</u> s. l.	4870-9010 9000-9590
42) El Hueso-2 (RB) (Bandy, 1961)	Mioc.Medio	<u>G.siakensis</u>	7000-8029
43) El Hueso-1 (RB) (Bandy, 1961)	Mioc.Medio	<u>G.fohsii</u> s. l. a <u>G.siakensis</u>	8000-8468
44) San Pedro-1 (RB) (Bandy, 1961)	Mioc.Medio	<u>G.fohsii</u> s. l.	5000-8200
45) Paso-1 (RB) (Bandy, 1961)	Mioc.Medio-Rec.	<u>G.fohsii</u> s. l.	432-7105
46) Caro-1 (RB) (Bandy, 1961)	Mioc.Medio Mioc.Medio	<u>G.fohsii</u> s. l.	8105-10115 10115-11375
47) Mata-9-1 (RB) (Sulek, 1961)	Mioc.Medio	<u>G.fohsii foehsi</u>	8870
48) Oritupano-1 (RB) (Sulek, 1961)	Mioc.Medio	<u>G.fohsii foehsi</u>	6490
49) East-Maron-2 (RB) (Sulek, 1961)	Mioc.Medio	<u>G.siakensis</u>	11567

<u>POZO</u>	<u>EDAD</u>	<u>ZONA</u>	<u>PROFUNDIDADES</u> (pies)
50) East-Maron-1 (RB) (Sulek, 1961)	Mioc. Medio	<u>G. siakensis</u>	10831
51) East-Aguasay-1 (RB) (Sulek, 1961)	Mioc. Medio	<u>G. fohsi fohsi</u>	11656
52) Aceital-1 (RB) (Sulek, 1961)	Mioc. Medio	<u>G. fohsi fohsi</u>	6830
53) Z G-500S (RB) (Intevep-Beicip 1980)	Mioc. Medio	<u>G. fohsi s.l. a</u> <u>G. siakensis</u>	8110-12110
54) RZ-50S (RB) (Intevep-Beicip 1980)	Mioc. Inf.	<u>G. insueta</u>	4600-6500
	Mioc. Inf.	<u>G. kugleri a</u>	6500-10300
	Oligoceno	<u>G. opima opima a</u> <u>G. ciperoensis</u>	10300-10700
55) CAZ-223 (RB) (Intevep-Beicip, 1980)	Mioc. Medio		2334-7323
56) OS-82 (RB) (Intevep-Beicip, 1980)	Mioc. Medio		2890-6995
57) 33 AC-30E (RB) (Intevep-Beicip, 1980)	Mioc. Medio		6650-10300
	Mioc. Medio	<u>G. siakensis</u>	10300-11300
	Mioc. Medio	<u>G. fohsi lobata robusta</u>	11300-14228
58) NS-749 (RB) (Intevep-Beicip, 1980)	Mioc. Medio	<u>G. fohsi s.l a</u> <u>G. siakensis</u>	3700-10300

<u>POZO</u>	<u>EDAD</u>	<u>ZONA</u>	<u>PROFUNDIDADES</u> (pies)
59) Oritu-702X (RB) (Intevep-Beicip, 1981)	Mioc. Medio	<u>G.fohsii lobata-robusta</u> a <u>G.siakensis</u>	6750-8420
60) YS-440 (RB) (Intevep-Beicip, 1980)	Mioc. Medio		1400-4437
61) QG-3 (RB) (Peirson, 1965)	Mioc. Inf. Mioc. Inf.	<u>G.insueta</u> <u>C.stainforthi</u>	5565 8500
62) Divi-1 (RB) (Peirson. 1965)	Mioc. Inf.	<u>C.stainforthi</u> a <u>G.insueta</u>	375
	Mioc. Inf.	<u>C.stainforthi</u> a <u>C.dissimilis</u>	3500-5082
63) GXB-1 (RB) (Peirson, 1965)	Oligoceno Paleoc. Eoc.	<u>G.ciperoensis</u>	2085-2126 4000
64) GXB-5 (RB) (Peirson, 1965)	Oligoceno	<u>G.ciperoensis</u>	Parte sup. Fm. Roble- cito.
65) VC-1 (RB) (Peirson, 1965)	Mioc. Inf.		Secc. Fm. Quebradon
66) Pozos área Acema (RB) (Peirson, 1965)	Mioc. Medio Mioc. Medio	<u>G.fohsii</u> s.l.	Base Fm. O- ficina (In- térv. "U")
67) ONV-102X (RB) (Gerhard, 1979)	Oligoceno	<u>G.fohsii</u> s.l.	15144-15205
68) Pozos Mosu (RB) (Stainforth,R. 1971)	Oligoc. Sup.	<u>G.ciperoensis</u>	Fm. Areo



<u>POZO</u>	<u>EDAD</u>	<u>ZONA</u>	<u>PROFUNDIDADES</u> (pies)
69) La Pascua-2 (RB) (Corelab, 1981)	Mioc. Medio a Superior Oligoceno		320-3200 200-5500
70) GXT-1 (RB) (Corelab, 1981)	Mioceno Oligoceno		1200-5000 5500-8310
71) Altamira-1 (RB) (Corelab, 1981)	Mioc. Medio Oligoceno Cretác. Sup.		551-1015 1229-2232 3228-3600
72) Manapire-1 (RB) (Euribe, 1980)	Cretáceo		3480-5020
73) SE-7 (RB) (Bermúdez, 1973)	Mioc. Sup.		1150-1250
74) FB-1 (RB) (Bermúdez, 1970)	Terc. Sup. Albiense- Cenomaniente		3450 4170
75) FB-3 (RB) (Bermudez, 1970)	Mioc. Sup. Mioceno		1550-2975 2975-3314
76) Miembro Cachipo (RB) (Lamb y Sulek, 1965)	Mioc. Medio	G. <u>fohsii</u> s.l.	MBO.Cachi- po (MBO.Cha- potal de Fm. Cara- pita).
77) SE-11 (RB) (Bermudez, 1973)	Terc. Sup.		510-607